

المجلة الأردنية للفيزياء

ARTICLE

إيجاد معدل القشط العام لكاشف الأثر النووي CR-39 باستخدام طريقة Le-D

سعيد حسن سعيد النعيمي ويسار يحيى قاسم
قسم الفيزياء، كلية التربية، جامعة الموصل، الموصل، العراق.

Received on: 3/4/2012;

Accepted on: 14/11/2012

الملخص: يُعد معدلاً القشط العام V_B والقشط على طول الأثر V_T معلمين مهمين في تحديد شكل الأثر ومتتابعة نموه. لذا يهدف هذا البحث إلى إيجاد معدل القشط العام (V_B) لكاشف CR-39 باستخدام طريقة قياس قطر- طول الأثر (Le-D). وذلك عن طريق تشعيع الكاشف بطاقات مختلفة (2.3، 3.3، 4.3 MeV) لجسيمات ألفا من مصدر الأمريشيوم ^{241}Am . تم قشط الكاشف بعيارات مختلفة من محلول NaOH في درجة حرارة $(70 \pm 1)^\circ\text{C}$ ، وذلك لحساب أطوال الأثار المتكونة في الكاشف وأقطارها لأزمان قشط مختلفة تبعاً للطاقة الساقطة وعيارية محلول القاشط. كذلك يهدف البحث إلى إيجاد معدل القشط العام V_B بطريقة القياس المباشر لسمك الطبقة المزالة (h) من سطح الكاشف بعد عمليات قشط متغيرة باستعمال عيارات (5.5-8) N بزيادة 0.5 N حيث أن الكاشف بهذه الطريقة لا يتطلب تشعيعه بجسيمات ألفا. لقد وجد أن معدل القشط العام (V_B) لكاشف الأثر النووي CR-39 المقياس بطريقة Le-D كان $(1.137-1.919) \mu\text{m}.\text{hr}^{-1}$ عند عيارات (5.5-7.5) N للمحلول الكيميائي القاشط، وقد أظهرت هذه القيم تطابقاً جيداً مع القيم المقاسة بطريقة سmek الطبقة المزالة التي كانت $(0.944-1.831) \mu\text{m}.\text{hr}^{-1}$ عند العيارات نفسها أعلى. كذلك أظهرت القيم المقاسة بطريقة Le-D توافقاً جيداً أيضاً مع نتائج عملية الملاءمة التي أظهرت قيمة L بين V_B وبين $(1.0418-1.845) \mu\text{m}.\text{hr}^{-1}$ ، فضلاً عن توافقها مع نتائج دراسات أخرى بطرائق مختلفة.

Determination of the Bulk Etch Rate of the Nuclear Track Detector CR-39 Using Le-D Method

S. H. S. Al-Nia'emi and Y. Y. Kasim

Physics Department, College of Education, Mosul University, Mosul, Iraq.

Abstract: The bulk etch rate (V_B) and the track etch rate (V_T) are important parameters in identifying the track profiles and their growing rate. The aim of this paper is to determine the bulk etch rate of CR-39 detector using the track's diameter-length (Le-D) measurement method by irradiating the detector with different energies of alpha particles from ^{241}Am source. Different normalities of the chemical solution NaOH at a temperature of $(70 \pm 1)^\circ\text{C}$ are used in etching the detectors to measure the track's lengths and diameters at different etching times corresponding to the energy of the incident particles and the etchant normality. The paper also aims to find the bulk etch rate by using the method of direct measurement of the removed layer thickness from the detector surface through alternating etching processes using normalities of (5.5-8) N. It is necessary to mention here that this method does not require to irradiate the detector with alpha particles. The bulk etch rate (V_B) values of CR-39 detector found by Le-D method were $(1.137-1.919) \mu\text{m}.\text{hr}^{-1}$ at normalities of (5.5-7.5) N. They showed good agreement with the values measured by the removed layer method which were $(0.944-1.831) \mu\text{m}.\text{hr}^{-1}$, and they also showed good agreement with other values which resulted by Gruhn *et al.* for the same normalities. The V_B measured by Le-D method also showed good agreement with the fitting curve produced by fitting the experimental results of both methods, which showed V_B between $(1.0418-1.845) \mu\text{m}.\text{hr}^{-1}$ for the same normalities, in addition to good agreement with results of other studies using different methods.

المقدمة

$$V_B = \frac{1}{2\rho A} \frac{\Delta m}{\Delta t} \quad (2)$$

حيث (gm) كتلة الطبقة المزالة من سطح الكاشف في زمن (hr), و(cm^2) مساحة سطح الكاشف, و(gm/cm^3) ρ كثافة مادة الكاشف.

ومن الطرق الأخرى في قياس معدل القشط العام طريقة قياس أقطار شظايا الانشطار باستخدام المصدر المشع ^{252}Cf , وأن نسبة معدل القشط عالية ($1 >> V$) في هذه الحالة، فإنه يمكن إيجاد V_B بقياس مباشر لأقطار شظايا الانشطار ($D_f \mu m$) عند زمن قشط ($t \text{ hr}$) باستخدام العلاقة الآتية [3]:

$$V_B = \frac{D_f}{2t} \quad (3)$$

وهناك طريقة أخرى حديثة لقياس معدل القشط العام (V_B), وهي طريقة قياس طول- قطر الأثر (Le-D). وتعد هذه الطريقة صعبة مقارنة بالطرق السابقة في عملية حساب V_B , لأنها تتطلب الحصول على صور للآثار المتكونة في الكاشف، وتتطلب قياساً دقيقاً لكل من قطر الأثر (D) وطوله (Le) تجريبياً بشكل مباشر، وهي ليست بالعملية السهلة. ويجب إجراء القياسات خلال المرحلة الأولى لنمو الأثر وهي مرحلة النمط المخروطي المنتظم لحين وصول رأس الأثر إلى نهاية مدى الجسيم في الكاشف [4, 5]; إذ يتم حساب معدل القشط العام (V_B) من العلاقة:

$$V_B = \frac{D^2}{4tLe} \left[1 + \sqrt{1 + \frac{4Le^2}{D^2}} \right] \quad (4)$$

$$D = 2 V_B t \sqrt{\frac{(V_T - V_B)}{(V_T + V_B)}} \quad (5)$$

حيث أن Le طول الأثر، و D قطر فتحة الأثر، و t زمن القشط.

وجدير بالذكر أن معدل القشط العام له قيمة واحدة ضمن الظروف المستخدمة من محلول القشط والعامل البيئي المؤثر، وهو لا يعتمد على اتجاه القشط Scalar (parameter) في حالة كون مادة الكاشف متجانسة (Homogenous)، ومتماطلة الخواص (Isotropic) مثل كاشف CR-39 وكاشف PM-355؛ في حين يمتلك قيمتين ضمن الظروف المستخدمة حيث يكون اتجاهها القشط

هناك معلمان أساسيان يتحكمان في تكوين الأثر هما معدل القشط العام (V_B) (Bulk Etch Rate), ومعدل قشط الأثر (V_T) أو ما يسمى معدل القشط على طول الأثر أو عمقه. فمعدل القشط العام هو مقدار ما يزال من سطح الكاشف خلال عملية التفاعل الكيميائي بين المادة القاشطة ومادة الكاشف مما يؤدي إلى تقليل سمكة مع تقدم عملية القشط [1]. ويعود معدل القشط العام معلماً من معالم الكاشف؛ إذ يعتمد على عوامل عدّة منها: نقاوة المادة الأساسية التي يصنع منها الكاشف، ومدى تجانسها وتماثل خواصها، وطبيعة جزيئات الكاشف البوليمرية وظروف بمروره خلال عملية الإنتاج، فضلاً عن اعتماده على العوامل البيئية في أثناء تشغيل الكاشف؛ إذ وجد أن عملية التسخين لها تأثير كبير على V_B في كواشف الأثر النووي [2]، فضلاً عن التأثير الملحوظ للإلكترونات والأشعة V_B الكهرومغناطيسية المؤينة في الكاشف. وإلى جانب كون معلماً كشفياً، فإنه يعد أيضاً معلماً قشطياً مهماً؛ إذ يعتمد على نوع محلول الكيميائي القاشط، وتركيزه، ودرجة حرارته.

ونظراً لأهمية معدل القشط العام (V_B) في التحكم في عملية تكوين الأثر من خلال نسبة معدل القشط (V) المعتمد على معدل القشط العام ومعدل قشط الأثر (V_T), فإنه يجب قياسه بشكل دقيق. ويمكن استخدام طرائق مختلفة لقياسه باعتماد نمطين: إما بتشعيب الكاشف بجزيئات ألفا أو بدون تشعيشه.

يمكن قياس V_B من خلال قياس سمك المادة المزالة من سطح الكاشف، وذلك بقياس سمك الكاشف قبل عمليات قشط متعاقبة وبعدها لأزمان قصيرة ضمن مدة ثبوت

V_B , ثم يحسب V_B من العلاقة [3]:

$$V_B = \frac{1}{2} \frac{\Delta h}{\Delta t} \quad (1)$$

حيث (μm) Δh سمك الطبقة المزالة من سطح الكاشف في زمن (hr). Δt .

وهناك طريقة لقياس V_B تدعى القياس التناولي [1]. وتعتمد هذه الطريقة على ما يزال من مادة الكاشف جراء عملية القشط الكيميائي لزمن محدد. وتقام هذه العملية بقياس كتلة الكاشف قبل عملية القشط وبعدها لزمن قشط محدد، ثم يحسب V_B من العلاقة:

يمتاز بتجانس مادته وتماثل خواصها وبخلفيته الإشعاعية القليلة، فضلاً عن حساسيته العالية للكشف عن الجسيمات المشحونة ومنها جسيمات ألفا وكذلك الكشف عن النيوترونات. فقد استعمل مصدر الأمريشيوم المشع ^{241}Am بفعالية (1/ μCi) في تشيع الكاشف وهو باعث لجسيمات ألفا بمعدل طاقة قصوى 5.485 MeV ومتوسط مده في الهواء يقرب من 4.16 cm . فقد استخدمنا طاقات أقل من معدل الطاقة القصوى، وذلك بتغيير البعد بين المصدر المشع والكافش في الهواء، حيث اختيرت الطاقات $2.3, 3.3, 4.3 \text{ MeV}$ ($2.3, 3.3, 4.3 \text{ cm}$) في عملية التشيع. استعملت المادة الكيميائية NaOH بنقاوة 95% وفي درجة حرارة $70 \pm 1^\circ\text{C}$ (70±1) ويعياريات مختارة (5.5, 6.5, 7.5) N للطاقات أعلى على التوالي، وذلك لإجراء عمليات القشط الكيميائي للكاشف لغرض حفر المناطق التالفة لإظهار الآثار المتكونة فيه جراء تشيعه بجسيمات ألفا. بعد ذلك، يصار إلى تصوير الأشكال الجانبية (profiles) للأثار وقياس أقطارها وأطوالها للطاقات الثلاث وللعياريات الواردة أعلى لأنماط مختلفة لمراحل نمو الأثر ضمن مرحلة القشط المخروطي المنتظم وممرحلة القشط المفترط (Over-etching) وذلك لإيجاد معدل القشط العام بطريقة قياس طول قطر الأثر Le-D.

إن السبب في اختيار العياريات للمحلول القاشط بين 5.5 N و 8 N هو أنه لعيارية أقل من 5.5 N ستحتاج وقتاً طويلاً للحصول على صور الآثار المتكونة في الكاشف نتيجة للبطء في معدل قشط الأثر (V_T) باتجاه عمق الأثر، وسيكون الفرق الزمني بين قشط وأخر كبيراً. أما بالنسبة لعيارية الأكثر من 8 N ، فإن معدل قشط الأثر يكون كبيراً بحيث لا تتوفر فترة زمنية كافية بين قشط وأخر لتسجيل أطوال الآثار وأقطارها بدقة، كما أن الأثر يظهر بسرعة كبيرة ويندوب الكاشف وينتهي لأنه رقيق؛ إذ إن سمكه بحدود $200 \mu\text{m}$.

أما اختيار الطاقات قيد الدراسة فقد تم على أساس منحني معدل فقدان الطاقة مع طاقة الجسيمات الذي يزداد مع زيادة طاقة جسيمات ألفا ويصل أقصى قيمة له عند طاقة (1.5-1) MeV . وعند استخدام طاقات أقل من طاقة الذروة فإن الآثار المقشوظة الناتجة تكون قريبة من السطح ويزمن قشط قليل بحيث تصل إلى نهايتها دون أن يتوفّر وقت كافٍ بين قشط وأخر لتسجيل أطوال الآثار بشكل دقيق. لذا نعمد إلى اختيار طاقات أكبر من طاقة الذروة حيث يكون مدى الجسيمات كبيراً داخل المادة

(Directional parameter) للكاشف غير المتجانسة Non-(Non-homogenous) مثل المايكا، لأن V_B يختلف باختلاف اتجاه القشط على سطح الكاشف. وقد وجّد أن معدل القشط العام (V_B) ومعدل قشط الأثر (V_T) يتأثران بتغيير عيارية محلول القاشط حسب العلاقة [6]:

$$V_x = F_x C' e^{\left(\frac{E_k}{KT}\right)} \quad (6)$$

حيث V_x يمثل V_B أو V_T ، و F_x ثابت يعتمد على نوع المادة، C' عيارية (Normality) للمحلول القاشط في مدى ($C \geq 3N$)، و T درجة حرارة محلول القاشط بالكلفن.

ويمكن صياغة المعادلة (6) بالشكل الرياضي الآتي:

$$y = a_1 X^{a_2} e^{a_3} \quad (7)$$

إن العوامل المؤثرة على كواشف الأثر النووي تؤدي دوراً كبيراً في التأثير على الخصائص الكشفية والتسلجية، وكذلك على معدل القشط العام ومعدل قشط الأثر. ومن هذه العوامل: نوع محلول القاشط، وتركيزه، ودرجة حرارته، فضلاً عن عوامل أخرى منها الترددات فوق السمعية [7]، ودرجات الحرارة العالية والجرعات العالية من الإشعاعات الكهرومغناطيسية [8, 9]. وبما أن V_B أحد المعلومات القشتية والكشفية المهمة في تحديد الآثار وتتطور نمواها، فهناك عدد كبير من الدراسات تبين اعتماد V_B على عوامل عديدة مثل: نقاوة المادة الأساسية والتركيب الجزيئي لمادة الكاشف (البوليمر)، وظروف البلمرة، والظروف البيئية في أثناء التشيع، والظروف القشتية (نوع محلول، ودرجة حرارته، وتركيزه) [10]. فضلاً عن عوامل بيئية أخرى. كذلك فإن الانتفاخ في مادة الكاشف نتيجة امتصاصه للماء من محلول القاشط في أثناء عملية القشط له تأثير في قيمة V_B ، لذا يجب التخلص من الماء الممتص بعد كل عملية قشط، كما أن تجانس مادة الكاشف وتماثل خواصها هما الآخران لهما تأثير في قيمة V_B ؛ إذ إن هاتين الصفتين يجعلان محلول القاشط يهاجم المادة بشكل عام بمعدل قشط متساوٍ في الاتجاهات المختلفة.

طريقة العمل

استعمل كاشف الأثر النووي البلاستيك CR-39 بسمك $200 \mu\text{m}$ لقياس معدل القشط العام له. وهو عبارة عن مادة بوليميرية بلاستيكية صلبة من نوع متعدد الكربون

كاميرا رقمية (Digital Camera) من نوع MDCE-5A مثبتة مباشرة على المجهر الضوئي وموصلة إلى حاسوب يعمل ضمن برنامج معين لغرض نقل صور الآثار ليتم إجراء عمليات القياس عليها.

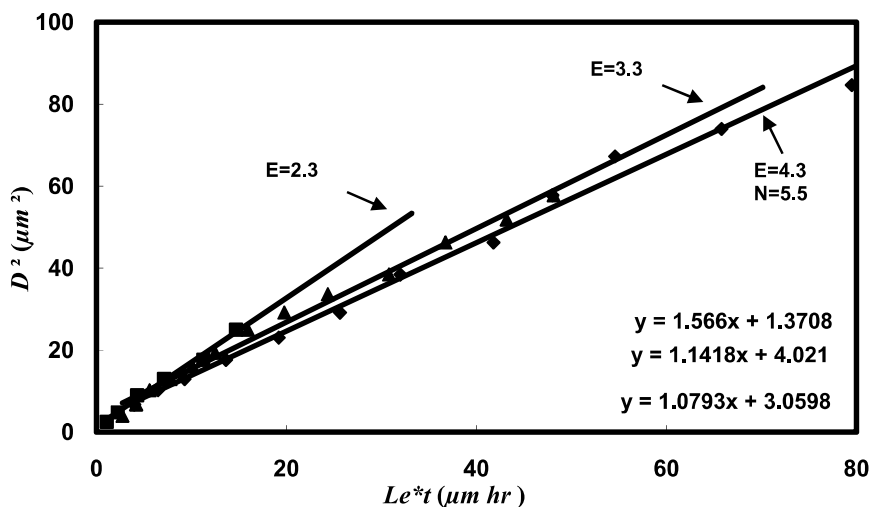
النتائج والمناقشة

هناك نمطان في إيجاد معدل القشط العام (V_B) للكافش المستخدم؛ إذ يمكن إيجاده إما بتشعيشه بالجسيمات المشحونة أو بدون تشعيشه بتلك الجسيمات في طرائق قياس V_B . وهناك طريقة حديثة لقياس V_B وهي قياس طول - قطر الأثر (Le-D) [4]؛ إذ تتطلب هذه الطريقة تشعيش الكافش بالجسيمات المشحونة وتصوير شكل الأثر المقشوّط المتكون في الكافش بفعل المحلول القاشط، وقياس طوله وقطره بشكل تجاري مباشر، بينما تتطلب الطرائق المعروفة - ومنها طريقة قياس سُمك الطبقة المزالة من سطح الكافش - قياس سُمك الكافش بعد عمليات قشط لفترات زمنية متّعاقة دون أن يحتاج إلى تشعيشه بالجسيمات المشحونة.

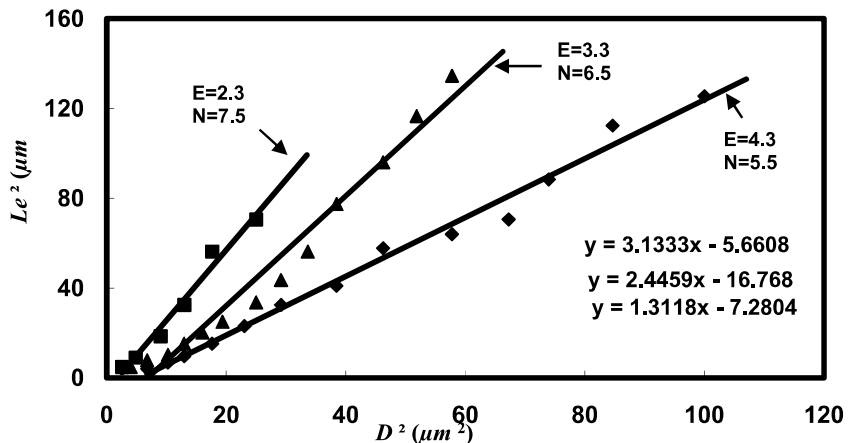
وبعداً عن السطح مما يوفر عمليات قشط متّعاقة بفترات زمنية مناسبة لقياس أطوال الآثار وأقطارها بدقة أكثر، فضلاً عن أنه يجبأخذ الفرق بين طاقة وأخرى ليس أقل من (0.7-0.6) Mev لكي يعطي فرقاً واضحًا بين أطوال الآثار قابلاً للفياس عند الفترة الزمنية نفسها، لذلك اخترنا الطاقات بعد طاقة الذروة بحيث يكون الفرق بينها في حدود 1 MeV.

ولإيجاد معدل القشط العام (V_B) بطريقة القياس المباشر لسمك الطبقة المزالة (h) من سطح الكافش، فقد تم قشط كافش CR-39، بدون تشعيشه بجسيمات ألفا، بعيارات مختلفة (5.5, 6, 7, 7.5, 8, 6.5, 7, 5.5, N) للمحلول القاشط NaOH عند درجة حرارة 70°C ± 1°C لأزمان قشط مختلفة لكل عيارية. وقد استخدمت المعادلة (6) في إجراء عملية الملاءمة (Fitting) للنتائج التجريبية لمعدل القشط العام بطريقة السُّمك المزالة لعيارات المختلفة للمحلول القاشط ولدرجة الحرارة أعلى.

لتصوير الأشكال الجانبية للأثار المتكونة في الكافش وقياس أطوالها وأقطارها مباشرة، وكذلك لقياس السُّمك المزالة من سطح الكافش بعملية القشط، فقد استخدمت



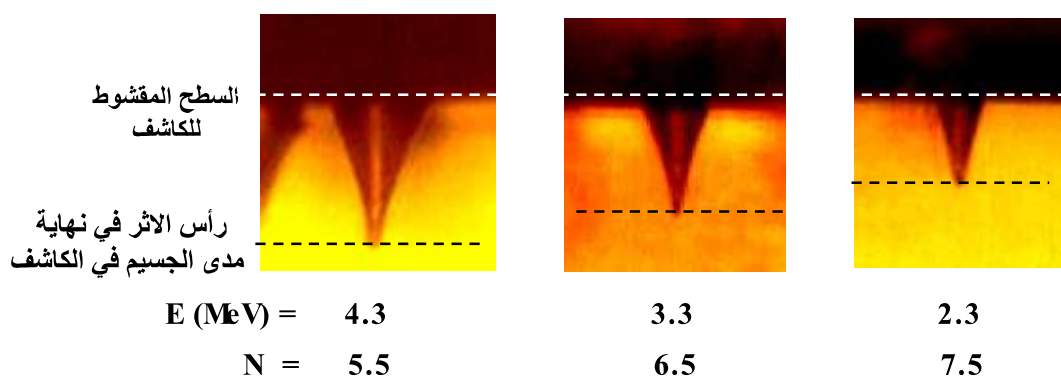
الشكل (1): العلاقة بين Le^*t و D^2



الشكل (2): العلاقة بين Le^2 و D^2

يصل رأس الأثر المقشوّط إلى نهاية مدي الجسيم في الكاشف، في حين يستمر قطر الأثر بالزيادة مع تقدّم القشط في مرحلة القشط المفرط خارج مدي الجسيم في الكاشف. وعلىه، فإن قياساتنا يجب أن تكون ضمن مرحلة المخروط المنتظم لشكل الأثر، وقد أجرينا القياسات لأزمان قشط MeV (4.3, 3.3, 2.3) (4.15, 4.1, 8) hr للطاقات (1.75, 3.3, 2.3) على الترتيب عند ثبوت طول الأثر. والشكل (3) يعرض صوراً تجريبية للمظهر الجانبي للأثر المقشوّط في الكاشف CR-39 للطاقات الثلاث أعلاه عند ثبوت طوله ووصول رأس الأثر إلى نهاية مدي الجسيم في الكاشف الذي يمثل نهاية مرحلة الشكل المخروطي المنتظم لنمو الأثر لتبدأ بعدها مرحلة القشط المفرط.

الشكلان (1) و(2) يبيّنان العلاقة بين مربع قطر الأثر وحاصل ضرب فترة القشط في طول الأثر المتكون خلال هذه الفترة (D^2 و Le^2)، والعلاقة بين مربع قطر الأثر ومربع طوله (Le^2 , D^2) لتلك الفترة الزمنية لطاقات جسيمات ألفا (4.3, 3.3, 2.3) MeV بتركيز قشط مختلف بعيارية (5.5, 6.5, 7.5) على الترتيب والأزمان قشط مختلفة تعتمد على عيارية محلول القاشط وطاقة الجسيمات. يلاحظ من الشكلين أن العلاقة بين كل من (Le^2, D^2) و (Le^*t, D^2) هي علاقة خطية تقريباً في مرحلة الشكل المخروطي المنتظم للأثر، وأن هذه العلاقة لا تستمر بالتغير بشكل خطى مع زيادة ساعات القشط لأكثر من هذه المرحلة، لأن طول الأثر يزداد مع زيادة زمن القشط ويصل إلى الثبوت أو حالة التشيع في نهاية المرحلة الأولى عندما



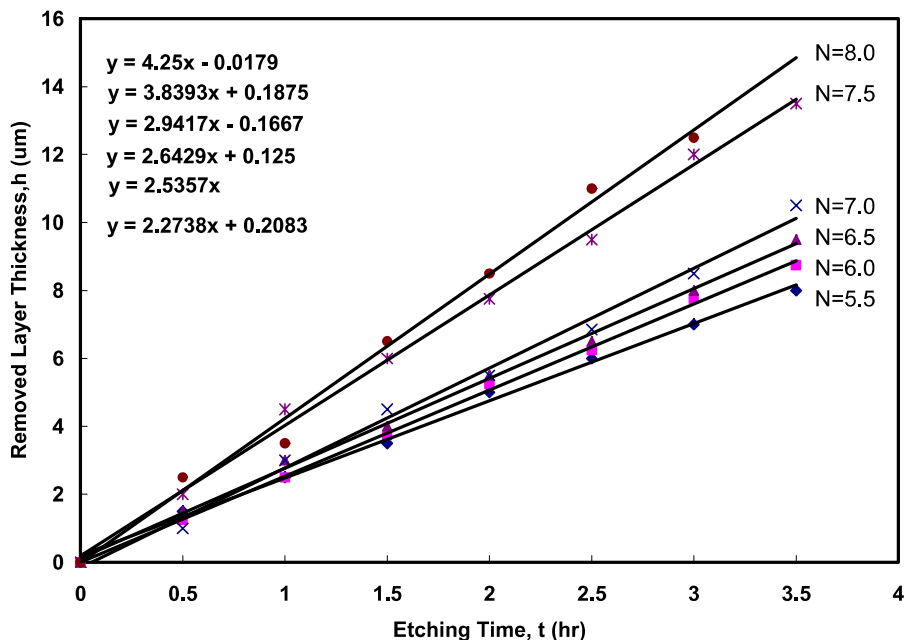
الشكل(3): صور تجريبية للمظهر الجانبي للأثر المقشوّط في نهاية مرحلة المخروط المنتظم لنمو الأثر

ولقياس V_B بطريقة سمك الطبقة المزالة من خلال قشط الكاشف بدون تشعيه بجسيمات ألفا، فقد قشط الكاشف CR-39 بال محلول نفسه NaOH وبدرجة الحرارة $(70 \pm 1)^\circ\text{C}$ نفسها للطريقة الأولى وعيارية (5.5, 6, 6.5, 7, 7.5, 8) N، وتم قياس سمك الطبقة المزالة لأزمان قشط متعاقبة وكل عيارية للمحلول، حيث ظهرت العلاقة بينهما طردية خطية، واتضح أن سمك الطبقة المزالة من السطح العام للكاشف يزداد بزيادة عيارية محلول القاشط بثبوت الظروف الأخرى كما هو موضح في الشكل (4). وباستخدام المعادلة (1) تم إيجاد معدلات القشط العام للكاشف CR-39 عند عيارات محلول القاشط أعلى وكما هو مبين في الجدول (2).

إن التوقف عن القشط عند الأزمان التي أشرنا إليها أعلاه يعود سببه إلى أن أطوال الآثار المتكونة وكذلك المعدل الزمني لتغير طول الآخر لا تستمر بالزيادة مع استمرار زيادة قطرات الآثار مع تقدم القشط؛ إذ لا يجوز أن تصبح قيمة المدى المتبقى (R') سالبة عندما يصل محلول القاشط إلى عمق أكبر من مدى الجسيم داخل الكاشف ويصبح الآخر مفرط القشط (over-etched). وبعد قياس أطوال الآثار وأقطارها مباشرة من صور الآثار، فقد تم حساب معدلات القشط العام (V_B) باستخدام المعادلة (4) [4] وكما في الجدول (1) لكل طاقة لجسيم وكل عيارية للمحلول القاشط.

الجدول (1): معدل القشط العام بطريقة D

Normality, N	$E\alpha (\text{MeV})$	$V_B (\mu\text{m hr}^{-1})$
5.5	4.3	0.944 ± 0.0163
6.5	3.3	1.222 ± 0.0243
7.5	2.3	1.831 ± 0.024



الشكل (4): العلاقة بين السمك المزال و زمن القشط

النقط في الشكل (5) تمثل قيم معدلات القشط العام للكاشف CR-39 لعيارات المختلفة للمحلول المعطاة في الجدول (2). وبإجراء عملية الملاءمة (Fitting) لهذه النقاط باستخدام المعادلة (6) نحصل على منحنى لمعدل القشط يتغير أسيًا مع عيارية محلول القاشط، وهذا المنحنى يتواافق مع شكل تغير قيم V_B المتخللة في المثلثات الصلدة في الشكل نفسه مع عيارية محلول القاشط. وببساطة قيم العيارات المستخدمة على هذا

الجدول (2): معدل القشط العام بطريقة قياس السمك المزال

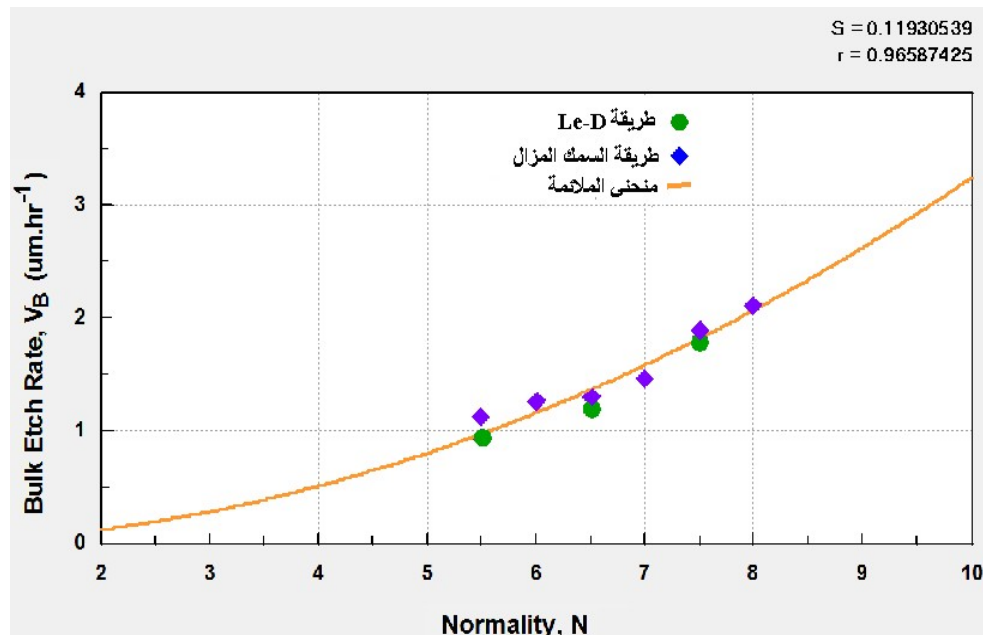
Normality, N	$V_B (\mu\text{m hr}^{-1})$
5.5	1.137 ± 0.0229
6.0	1.268 ± 0.0223
6.5	1.321 ± 0.0205
7.0	1.471 ± 0.0177
7.5	1.919 ± 0.0135
8.0	2.125 ± 0.010

الجدول (3) يمثل مقارنة نتائج معدلات القشط العام (V_B) التي حصلنا عليها من طريقة Le-D وطريقة السمك المزال وكذلك النتائج التي تم الحصول عليها من الملاءمة؛ إذ يظهر تواافق جيد بين النتائج. كذلك فإن النتائج التي حصلنا عليها تتوافق مع ما وجد [12]، حيث وجد أن قيمة V_B باستخدام طريقة السمك المزال كانت $1.3192 \mu\text{m}.\text{hr}^{-1}$ وكانت $1.3146 \mu\text{m}.\text{hr}^{-1}$ بطريقة القياس الثنائي (قياس الكتلة المزالة) باستخدام محلول القاشط NaOH عند ظروف $70 \pm 1^\circ\text{C}$ و 6.25 N .

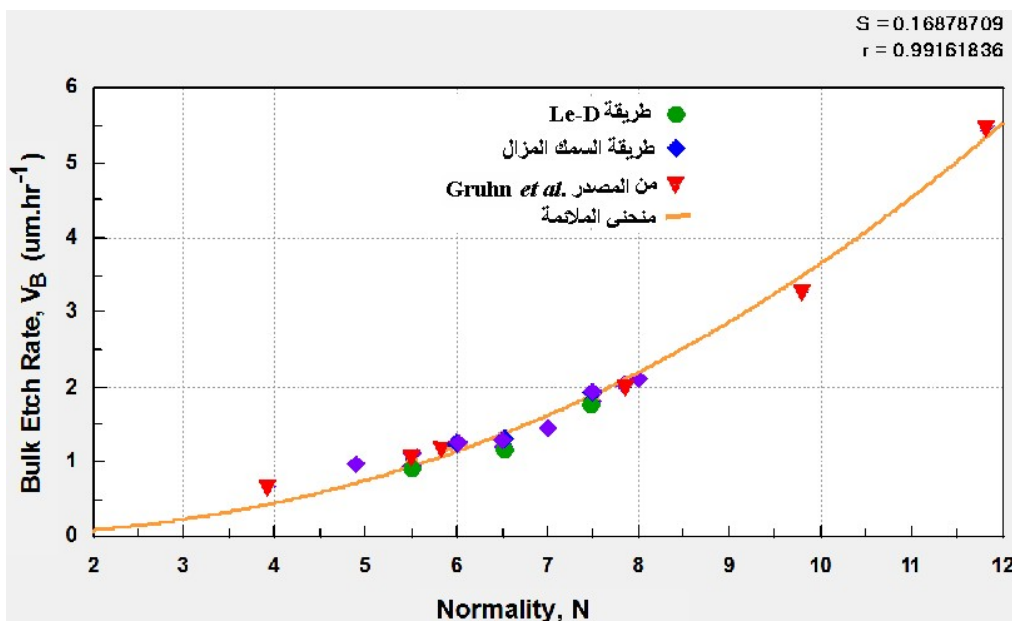
ولعدم عثورنا على دراسات تحت الظروف القشطية ذاتها وضمن عيارات محلول نفسها المستخدمة في دراستنا هذه، فإننا نورد قيماً فردية لمعدل القشط العام V_B عند عيارات مختلفة لدراسات أخرى تقع ضمن مدى العيارات المستخدمة وعند درجة الحرارة للمحلول القاشط نفسه المستخدم في دراستنا وهي $70 \pm 1^\circ\text{C}$. ويلاحظ أن قيمة V_B باستخدام محلول القاشط NaOH عند عيارية $V_B = 1.23 \mu\text{m}.\text{hr}^{-1}$ كانت 6.25 N [13]. وكانت $V_B = 1.45 \mu\text{m}.\text{hr}^{-1}$ [14]، بينما كانت $V_B = 1.317 \mu\text{m}.\text{hr}^{-1}$ عند $V_B = 1.73 \mu\text{m}.\text{hr}^{-1}$ باستخدام محلول العام كان يساوي 7.25 N [15]. وبالمقارنة مع نتائجنا في الجدول (3) نجد أن هذه القيم متواقة مع النتائج التي حصلنا عليها وتقع ضمنها.

المنحي، نحصل على القيم النظرية لمعدل القشط (V_B) لتلك العيارات للمحلول القاشط في هذه الطريقة، ويمكن الحصول من هذا المنحي على معدل القشط لكاشف CR-39 عند أي عيارية عند الظروف القشطية المستخدمة في هذا البحث. ويلاحظ أن قيمة V_B الناتجة من طريقة Le-D لقياس السمك المزال (من المعادلة 2) وطريقة قياس (من المعادلة 4) متطابقة، وأنها تتطابق مع منحني الملاءمة الناتج من المعادلة (6) باستخدام النقط جميعها في الطريقتين، حيث وجد أن ثوابت المعادلة (6) لمنحي الملاءمة كانت $a_1=0.16544 \mu\text{m hr}^{-1}$ ، $a_2=2.31764$ ، $a_3=2.24012$.

أما الشكل (6) فإنه يوضح مقارنة قيم V_B الموضحة في الشكل (5) باستخدام الطريقتين؛ طريقة السمك المزال وطريقة Le-D مع النتائج التي وجدناها [11] لمعدل القشط العام (V_B) باستخدامه طريقة قياس أقطار شظايا الانشطار للظروف القشطية نفسها ولكن لعيارات (تراكيز) قشط مختلفة. ويلاحظ من الشكل (6) أن قيم V_B المقابلة في هذه الدراسة بالطريقتين تتوافق مع ما وجدناه [11] بشكل جيد وتتطابق مع منحني الملاءمة الناتج من المعادلة (6) باستخدام النقط جميعها للدراسة الحالية ودراسة [11]. وقد وجد أن ثوابت المعادلة (6) لمنحي الملاءمة كانت $a_1=0.18667 \mu\text{m hr}^{-1}$ ، $a_2=2.2648$ ، $a_3=2.23767$.



الشكل (5): معدلات القشط العام بطريقة السمك المزال وطريقة Le-D للدراسة الحالية مع منحني الملاءمة عند عيارات مختلفة للمحلول القاشط



الشكل (6): معدلات القشط العام بطريقة السمك المزال وطريقة Le-D للدراسة الحالية ودراسة [11] ومنحنى الملامة عند عيارات مختلفة للمحلول القاشط

الجدول (3): مقارنة قيم معدل القشط العام للكاشف CR-39 بطرائق مختلفة

Normality, N	معدل القشط العام V_B ($\mu\text{m}.\text{hr}^{-1}$)			
	طريقة Le-D	طريقة السمك المزال	منحنى الملامة	طريقة السمك المزال
5.5	0.944 ± 0.0163	1.1379 ± 0.0229	1.0418	
6.0	1.268 ± 0.0223	1.223	
6.5	1.222 ± 0.0243	1.321 ± 0.0205	1.418	
7.0	1.471 ± 0.0177	1.625	
7.5	1.831 ± 0.024	1.919 ± 0.0135	1.845	
8.0	2.125 ± 0.010	2.079	

الاستنتاجات

السمك المزال التي لا تتطلب تشعيّن الكاشف بالجسيمات متوافقة مع نتائج V_B المقاسة بطريقة Le-D التي تتطلب تشعيّن الكاشف بالجسيمات المشحونة بطاقات مختلفة. كذلك يلاحظ أنه بالإمكان استخدام منحنى الملامة لإيجاد معدل القشط العام عند أي عيارية للمحلول القاشط ضمن الظروف القشتية المستخدمة في هذا البحث.

من النتائج التي حصلنا عليها نستنتج أن طريقة Le-D هي طريقة جيدة لقياس V_B وتعطي نتائج جيدة، ولكنها ليست طريقة سهلة حيث تتطلب الحصول على صور للأشعار في الكاشف وقياس أطوالها وأقطارها بدقة، وأن معدل القشط العام لا يعتمد على طاقة الجسيمات التي يشعّ بها الكاشف. فقد وجد أن نتائج قياس V_B بطريقة

المصادر والمراجع

- [8] Al-Nia'emi, S.H.S., Ph.D. Thesis, Physics Dept., College of Science, University of Mosul, Iraq (1998).
- [9] Fazal-ur-Rehman, Abu-Jarad, F., Al-Jarallah, M.I. and Farhat, M., Radiat. Meas. 34 (2001) 617.
- [10] Szydlowski, A., Sadowski, M., Czyziewski, T., Jaskola, M., Kormona, A., Kedzierski, J. and Krestschmer, W., Rad. Meas., 312 (1999) 257.
- [11] Gruhn, T.A., Li, W.K., Benton, E.V., Cassou, R.M. and Johnson, C.S., in: Proceedings of the 10th Conference on SSNTD, Lyon, 2–6 July (1979) 291.
- [12] Mahmood, I.H.T., M. Sc. Thesis, Physics Dept., College of Education, University of Mosul, Iraq (2011).
- [13] Ho, J.P.Y., Yip, C.W.Y., Nikezic, D. and Yu, K.N., Radiat. Meas., 36 (2003) 155.
- [14] Ahmed, H.A., M.Sc. Thesis, Physics Department, College of Education, University of Mosul, Iraq (2010).
- [15] Dörschel, B., Hermsdorf, D., Reichelt, U., Starke, S. and Wang, Y., Radiat. Meas., 37 (2003) 563.
- [1] Nikezic, D. and Yu, K.N., Materials Science and Engineers, R 46 (2004) 51.
- [2] Khan, H.A., Nucl. Instr. and Meth., 78 (1980) 491.
- [3] Durrani, S.A. and Bull, R.K., "Solid State Nuclear Track Detection", (Pergamon Press, Oxford, 1987).
- [4] Manzoor, S., "Nuclear Track Detectors for Environmental Studies and Radiation Monitoring", (Physical Department, University of Bologna, 2006).
- [5] Balestra, S., Cozzi, M., Giacomelli, G., Giacomelli, R., Giorgini, M., Kumar, A., Mandrioli, G., Manzoor, S., Margiotta, A.R., Medinaceli, E., Partizii, L., Popa, V., Qureshi, I.E., Rana, M.A., Sirri, G., Spurio, M., Togo, V. and Valieri, C., Nucl. Instr. and Meth., in: Physics Research, B 254 (2007) 254.
- [6] Somogyi, G. and Hunyadi, I., in: Proc. 10th Int. Conf. "Solid State Nuclear Track Detectors", Lyon, and Suppl. 2, Nuclear Tracks, Pergamon Press, Oxford (1980) 443.
- [7] Pandey, A.K., Kalsi, P.C. and Iyer, R.H., Nucl. Instr. and Meth., in: Physics Research B 134 (1998) 393.